

基于贝叶斯网络分析的亲子科技干扰、父母心理距离、孤独感与青少年短视频成瘾风险的关系

史晓蒙¹ 蒋俊杰² 吴若雨³ 安献丽³ 杨华¹ 张亦斐⁴ 乔慧芬¹ 郝阳¹

¹南京医科大学附属脑科医院医学心理科,南京 210029;²深圳市光明区长育学校心理学教研室,深圳 518107;³扬州大学心理学研究所,扬州 225009;⁴上海交通大学医学院附属精神卫生中心临床心理科,上海 200030

通信作者:乔慧芬,E-mail: huifenaqiao@163.com;郝阳,E-mail: 499619821@qq.com

DOI:10.16462/j.cnki.zhjbkz.2026.02.016

【摘要】 目的 使用贝叶斯网络探究亲子科技干扰、父母心理距离、孤独感与青少年短视频成瘾风险的关系。方法 2024 年 11—12 月采用多阶段分层整群抽样法,使用亲子科技干扰量表、父母心理距离量表、孤独感量表和短视频成瘾量表对 2 548 名青少年施测,通过 JASP 0.95.1 软件执行贝叶斯网络。结果 亲子科技干扰的关键节点是“当我和父母一起吃饭时,他们会拿出手机或其他移动设备看消息”(预期影响=0.831,强度=0.818,紧密性=0.186,中介性=0.280)。父母心理距离的关键节点是“与母亲心理距离”(预期影响=0.224,强度=0.161,紧密性=0.592,中介性=0.658)。孤独感的关键节点是“我感到缺少他人陪伴”(预期影响=0.891,强度=0.824,紧密性=0.815,中介性=1.215)。短视频成瘾的关键节点是“戒断性”(预期影响=0.950,强度=1.299,紧密性=1.304,中介性=2.510)。结论 本研究识别出几个关键节点,可针对关键节点进行干预,从而减少亲子科技干扰、父母心理距离、孤独感、短视频成瘾风险对青少年的影响。

【关键词】 亲子科技干扰;父母心理距离;孤独感;短视频成瘾风险

【中图分类号】 B846; R179 **【文献标识码】** A **【文章编号】** 1674-3679(2026)02-0237-06

基金项目: 国家社会科学基金(20BSH134)

The relationship between parental technoference, parental psychological distance, loneliness, and adolescents' short video addiction risk based on Bayesian network analysis SHI Xiaomeng¹, JIANG Junjie², WU Ruoyu³, AN Xianli³, YANG Hua¹, ZHANG Yifei⁴, QIAO Huifen¹, HAO Yang¹

¹Department of Medical Psychology, Affiliated Brain Hospital, Nanjing Medical University, Nanjing 210029, China; ²Psychology Teaching and Research Office, Shenzhen Guangming Changyu School, Shenzhen 518107, China; ³Institute of Psychology, Yangzhou University, Yangzhou 225009, China; ⁴Department of Clinical Psychology, Shanghai Mental Health Center, Shanghai Jiao Tong University School of Medicine, Shanghai 200030, China

Corresponding authors: QIAO Huifen, E-mail: huifenaqiao@163.com; HAO Yang, E-mail: 499619821@qq.com

【Abstract】 Objective Using bayesian network analysis to explore the relationship between parental technoference, parental psychological distance, loneliness, and adolescents' short video addiction risk. **Methods** In November December 2024, a multi-stage stratified cluster sampling method was used to test 2 548 adolescents using parental technoference scale, parental psychological distance scale, loneliness scale and short video addiction scale, and bayesian networks were performed using JASP 0.95.1 software. **Results** The key node of parental technoference was "When I eat with parents, they take out their phones or other mobile devices to check messages" (expected influence=0.831, strength=0.818, closeness=0.186, betweenness=0.280). The key node of parental psychological distance was "psychological

distance from mother" (expected influence=0.224, strength=0.161, closeness=0.592, betweenness=0.658). The key node of loneliness was "I feel lack of others' company" (expected influence=0.891, strength=0.824, closeness=0.815, betweenness=1.215). The key node of short video addiction risk was "withdrawal" (expected influence=0.950, strength=1.299, closeness=1.304, betweenness=2.510). **Conclusions** Intervention can be carried out for key nodes to reduce the impact of parental technoference, parental psychological distance, loneliness and short video addiction risk on adolescents.

【Keywords】 Parental technoference; Parental psychological distance; Loneliness; Short video addiction risk

Fund program: National Social Science Foundation of China (20BSH134)

(Chin J Dis Control Prev 2026, 30(2):237-242)

短视频成瘾风险是指对短视频出现戒断/耐受,并可能演变为成瘾的风险状态^[1]。在目前众多智能设备围绕的生活中,父母在亲子互动时可能更频繁地使用智能设备,并干扰亲子互动,这被称为亲子科技干扰^[2]。有研究发现,亲子科技干扰与手机成瘾有关,还诱发青少年对亲子关系的消极认知(如心理距离增大)和消极情绪(如孤独感)^[3]。父母心理距离是指对父母情感距离的主观感知^[4],与孤独感呈正相关^[5]。孤独感是指感到与他人缺乏情感链接的情绪^[6],与短视频成瘾呈正相关^[7]。鉴于上述变量的复杂关系,有必要从心理病理网络范式的角度刻画其交互关系。另外,与频率学派相比,贝叶斯网络可通过计算不同网络的后验结构概率来确定最优结构^[8],一定程度上避免了频率学派参数估计的不稳定和假设检验(如 *P* 值误解)的不确定性。本研究通过贝叶斯网络探究上述四者的网络关系与关键节点,为干预提供依据。

1 对象与方法

1.1 研究对象 采用横断面研究,依据现况调查的抽样公式:

$$N = \frac{deff Z_{\alpha/2}^2 P(1-P)}{\delta^2} \quad \text{式(1)}$$

式(1)中, $P=28.19\%$ ^[9], $\delta=5\%$, $deff=1$,以10%为无效率,每层需360例样本,6个年级需要2160例样本。纳入标准:(1)正常在读者;(2)自愿参与研究者;(3)意识清醒、理解能力正常者;(4)视听正常者。排除标准:(1)存在脑外伤和脑器质性疾病史者;(2)神经精神疾病患者;(3)重大躯体疾病/虚弱者。2024年11—12月采用多阶段分层整群抽样:在江苏省先选择重点/非重点完全中学各1所作为1级簇;再选取初中和高中全部年级作为2级簇;最后每年级按随机数表法整群抽取5~6个班。发放问卷2669份,有效问卷2548份。本研究已通过扬州大学教育科学学院伦理审批(伦理审批号:YZU-JKY-2024040902)。

1.2 研究内容 (1)一般情况:年龄、性别、年级、重点学校、家庭经济;(2)亲子科技干扰量表^[2]:5题,从0(从不)到7(一天10次以上)进行8点计分, ω 信度为0.934;(3)父母心理距离量表^[10]:2题,7级评分, ω 信度为0.776;(4)孤独感量表^[6]:3题,7级评分, ω 信度为0.899;(5)短视频成瘾风险量表^[9]:14题,5级评分,包含失控性、戒断性、逃避性及低效性4个维度, ω 信度为0.935。

1.3 统计学方法 使用JASP 0.95.1软件计算量表的贝叶斯 ω 信度。计数资料采用频数和频率描述。不符合正态分布的计量资料采用 $M(P_{25}, P_{75})$ 表示。使用JASP 0.95.1软件执行贝叶斯网络,为平衡量纲,将 Z 分数带入。采用默认G-Wishart分布的先验概率(边存在的先验概率为0.5, $df=3$)^[8]。通过设定Iterations的100000次和Burn-in的50000次,确保估计的稳健性。使用高斯连接函数图模型计算包含人口变量与连续变量的网络^[8]。后验结构概率反映了特定网络结构在给定数据条件下的可能性,后验结构概率最大的被接收为最优结构。确定特定边的存在与否,需通过贝叶斯因子(Bayesian factor, BF)来区分缺乏证据与存在证据的边。最后评估节点的关联参数和中心性。中心性值以标准分数表示,分数越高表示该节点中心性越大。中心性值的95%的最高密度区间(highest density interval, HDI)越小表示值越可靠,在中心性指标中以最重要的预期影响为准^[11]。预期影响指连接到节点所有边权值的和,预期影响越大,表示该节点越重要。ULMC多因子: $\chi^2/df=3.604$, CFI=0.984, TLI=0.981, RMSEA=0.032, SRMR=0.019。双因子: $\chi^2/df=3.436$, CFI=0.987, TLI=0.982, RMSEA=0.031, SRMR=0.037。ULMC法比较可知, $\Delta CFI=0.003$, $\Delta TFI=0.001$, $\Delta RMSEA=0.001$, $\Delta SRMR=0.018$,因 Δ 值 <0.05 ^[12-13],提示不存在共同方法偏差。其中,CFI为比较拟合指数,用于比较假设模型与基准模型(独立模型)的拟合改善程度。值越接近1越好,通常值 >0.90 或 0.95 表示良好拟合;

TLI 为塔克-刘易斯指数,同样越接近 1 越好,标准通常与 CFI 相同(>0.90/0.95);RMSEA 为近似误差均方根,用于衡量模型与总体协方差矩阵的近似误差,值<0.08 表示可接受拟合,<0.06 表示良好拟合;SRMR 为标准化残差均方根,用于衡量模型拟合后残差的大小,值<0.08 是常用的良好拟合标准。检验水准 $\alpha=0.05$ 。

2 结果

2.1 基本情况 纳入研究对象 2 548 名,平均年龄为(14.41±2.01)岁,男性 1 234 名,其余人口学特征和维度得分见表 1。

2.2 贝叶斯网络

2.2.1 后验概率分析 先分析后验概率 (posterior probability, PP),从左到右以最大概率到最小概率,最左边第 1 个概率高于其他,提示该结构为最优,见图 1。

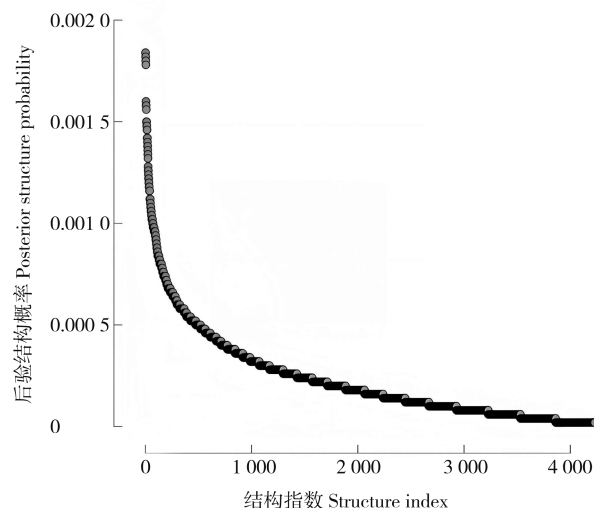


图 1 网络结构后验概率

Figure 1 Posterior probability of network structure

表 1 2 548 名研究对象的基本情况

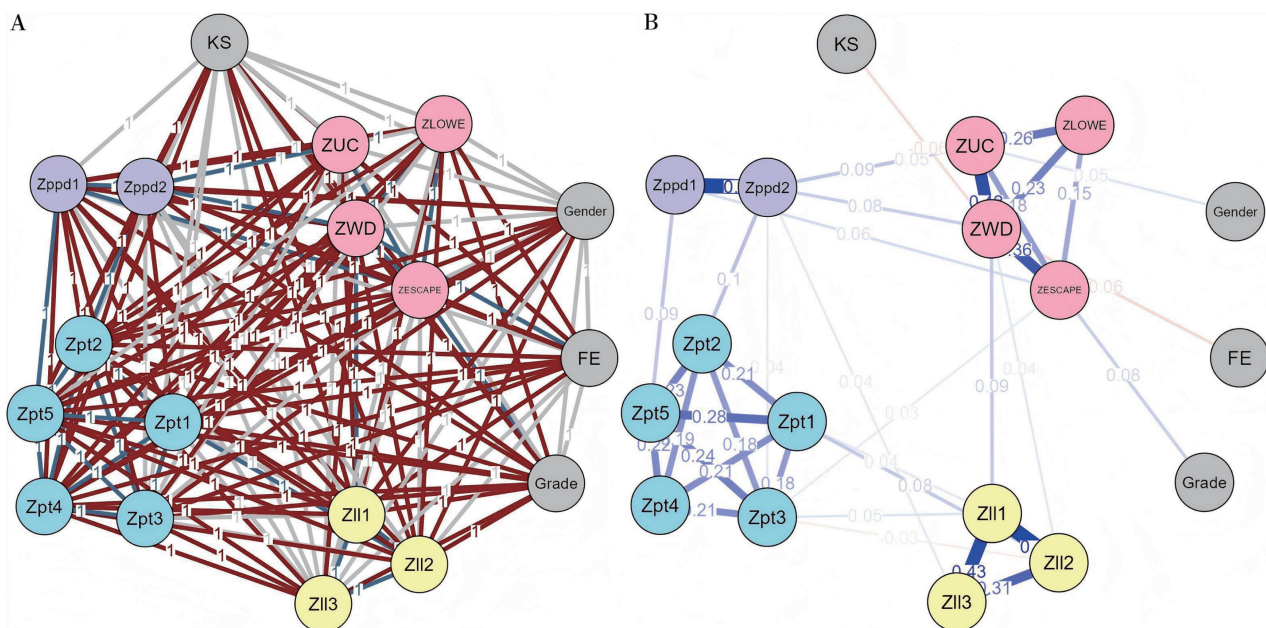
Table 1 Basic information of 2 548 study participants

变量 Variable	人数(占比/%)或 $M(P_{25}, P_{75})$ Number of people (proportion/%) or $M(P_{25}, P_{75})$	变量 Variable	人数(占比/%)或 $M(P_{25}, P_{75})$ Number of people (proportion/%) or $M(P_{25}, P_{75})$
性别 Gender		家庭经济 Family economies	
男性 Male	1 234(48.4)	差 Poor	1 022(40.1)
女性 Female	1 314(51.6)	一般 Normal	998(39.2)
年级 Grade		好 Good	528(20.7)
初一 Junior one	435(17.1)	维度得分 Dimension scores	
初二 Junior two	421(16.5)	亲子科技干扰 Parental technoference	3.80(2.00, 4.80)
初三 Junior three	416(16.3)	父母心理距离 Parental psychological distance	2.00(1.50, 3.50)
高一 Senior one	429(16.8)	孤独感 Loneliness	3.67(2.33, 4.33)
高二 Senior two	426(16.7)	失控性 Uncontrolled	3.25(2.25, 4.00)
高三 Senior three	421(16.5)	戒断性 Withdrawal	2.80(2.00, 4.00)
重点学校 Key school		逃避性 Escape	3.33(2.33, 4.33)
非重点学校 Non-key school	1 314(51.6)	低效性 Low efficiency	3.50(2.00, 4.50)
重点学校 Key school	1 234(48.4)		

2.2.2 边的证据分析 在边缘证据图 2 A 中,红色边表示缺失证据(PP<0.5),灰色边表示缺乏证据,蓝色边表示存在证据(PP>0.5)。排除红色和灰色边后得到每条边 BF>1 的网络,见图 2 B。边的权重显示于边上,蓝色表示正关联,红色表示负关联。

2.2.3 贝叶斯网络结构与中心性估计 在亲子科技干扰内部,“当我和父母一起吃饭时,他们会拿出手机或其他移动设备看消息”的预期影响最大(预期影响=0.831,强度=0.818,紧密性=0.186,中介性=0.280),见图 2B 和图 3。在父母心理距离内部,“与母亲心理距离”的预期影响最大(预期影响=0.224,强度=0.161,紧密性=0.592,中介性=

0.658)。在孤独感内部,“我感到缺少他人陪伴”的预期影响最大(预期影响=0.891,强度=0.824,紧密性=0.815,中介性=1.215)。在短视频成瘾风险内部,“逃避性”的预期影响最大(预期影响=0.950,强度=1.299,紧密性=1.304,中介性=2.510)。上述节点 HDI 较小,提示了关键地位。亲子科技干扰通过“在我可以和父母一起度过的休闲时间里,他们会使用手机或平板等设备”“逃避性”链接成瘾风险。父母心理距离通过“与母亲心理距离”“戒断性”和“与父亲心理距离”“逃避性”与成瘾风险联系。孤独感通过“我感到缺少他人陪伴”“戒断性”与成瘾风险联系。上述路径解释了亲子



A 为边的证据图, B 为网络结构图。KS: 重点学校; Gender: 性别; FE: 家庭经济; Grade: 年级; Zpt1: 当我和父母一起吃饭时, 他们会拿出手机或其他移动设备看消息; Zpt2: 在我和父母面对面交流时, 他们会给别人发信息; Zpt3: 在我可以和父母一起度过的休闲时间里, 他们会使用手机或平板等设备; Zpt4: 智能电子设备会干扰我与父母的交谈; Zpt5: 当父母的手机或其他移动设备响起时, 即使我们正在交谈, 他们也会把手机拿出来看; ZUC: 失控性; ZWD: 戒断性; ZLOWE: 低效性; ZESCAPE: 逃避性; ZI11: 我感到缺少他人陪伴; ZI12: 我感到被他人冷落; ZI13: 我感到与他人隔绝; Zpddl: 与父亲心理距离; Zpdd2: 与母亲心理距离。

A is the evidence diagram for edges, B is the network structure diagram. KS: key schools; Gender: gender; FE: family economics; Grade: grade; Zpt1: when I eat with my parents, they take out their phones or other mobile devices to check messages; Zpt2: when I communicate face-to-face with my parents, they send messages to others; Zpt3: during leisure time that I can spend with my parents, they use phones, tablets, or other devices; Zpt4: smart electronic devices interfere with my conversations with my parents; Zpt5: when my parents' phones or other mobile devices alert, they check them even when we are talking; ZUC: loss of control; ZWD: withdrawal; ZLOWE: inefficiency; ZESCAPE: escapism; ZI11: I feel a lack of companionship from others; ZI12: I feel neglected by others; ZI13: I feel isolated from others; Zpddl: psychological distance from father; Zpdd2: psychological distance from mother.

图 2 亲子科技干扰、父母心理距离、孤独感与青少年短视频成瘾风险的贝叶斯网络图

Figure 2 Bayesian network diagram of parental technoference, parental psychological distance, loneliness, and adolescents' short video addiction risk

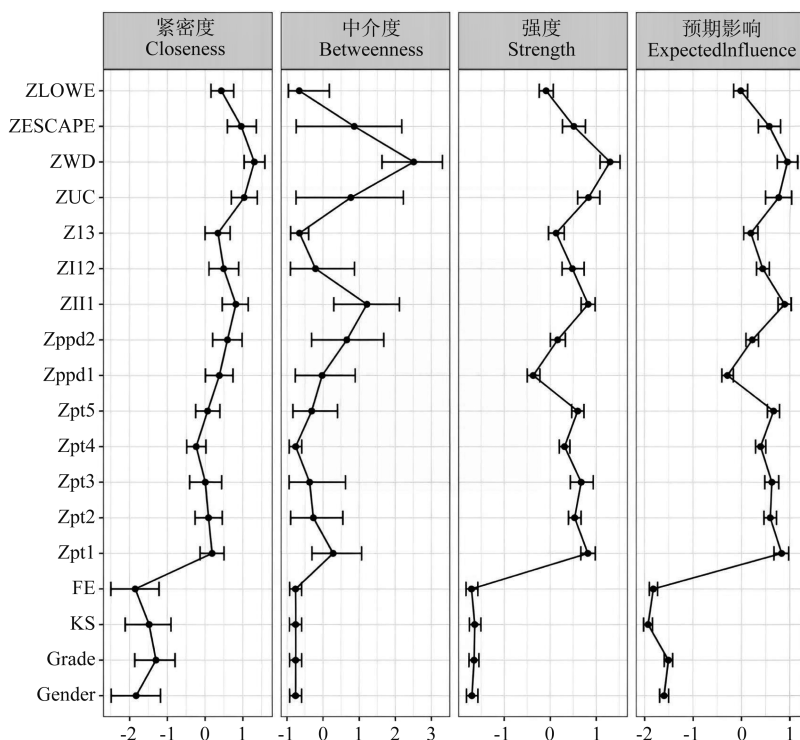
科技干扰、父母心理距离、孤独感和短视频成瘾风险的微观链接机制。

3 讨论

本研究发现 4 个核心节点:“当我和父母一起吃饭的时候,他们会拿出手机或其他移动设备看消息”“与母亲心理距离”“我感到缺少他人陪伴”“戒断性”。父母共餐时使用移动设备可通过“在场缺席”削弱家庭支持^[14],还强化青少年对设备的矛盾依赖。青少年与母亲的心理疏离可加大情感孤立^[15],使其陷入“情感孤岛”,既渴望依恋又恐惧拒绝,易转化为短视频补偿动机^[16]。“我感到缺少他人陪伴”提示现实社交中体验到的情感缺失会诱发虚拟互动进行代偿。“戒断性”的核心地位,与以往研究类似:在网络成瘾网络中^[17],“担心下线时无

聊”和“幻想上网”是激活其他节点的核心节点,也是干预重点。

亲子科技干扰通过“在我可以和父母一起度过的休闲时间里,他们会使用手机或平板等设备”链接逃避性:父母休闲时间的设备使用会传递消极信号,既削弱现实互动的情感投入,又示范对数字媒介的投入。母亲心理距离链接成瘾风险的戒断性和失控性:依据家庭系统理论^[18],当母亲在交流中持续分心时,会构成双重情感忽视——既阻断即时情感反馈,又通过行为传递设备优先的潜在信息,而戒断反应可能是这种替代性依恋断裂时的应激表现。与父亲心理距离链接成瘾风险的逃避性:父亲的家庭功能缺失可能诱发外化行为(如逃避),符合应对压力时“行动导向”^[19]。短视频成瘾可能承载 2 种代偿:对母子疏离的情感代偿(通过高唤醒内容刺激



KS:重点学校;Gender:性别;FE:家庭经济;Grade:年级;Zpt1:当我和父母一起吃饭时,他们会拿出手机或其他移动设备看消息;Zpt2:在我与父母面对面交流时,他们会给别人发信息;Zpt3:在我可以和父母一起度过的休闲时间里,他们会使用手机或平板等设备;Zpt4:智能电子设备会干扰我与父母的交谈;Zpt5:当父母的手机或其他移动设备响起时,即使我们正在交谈,他们也会把手机拿出来看;ZUC:失控性;ZWD:戒断性;ZLOWE:低效率;ZESCAPE:逃避性;Z111:我感到缺少他人陪伴;Z112:我感到被他人冷落;Z113:我感到与他人隔绝;Zpdd1:与父亲心理距离;Zpdd2:与母亲心理距离。

KS: key schools; Gender: gender; FE: family economics; Grade: grade; Zpt1: when I eat with my parents, they take out their phones or other mobile devices to check messages; Zpt2: when I communicate face-to-face with my parents, they send messages to others; Zpt3: during leisure time that I can spend with my parents, they use phones, tablets, or other devices; Zpt4: smart electronic devices interfere with my conversations with my parents; Zpt5: when my parents' phones or other mobile devices alert, they check them even when we are talking; ZUC: loss of control; ZWD: withdrawal; ZLOWE: inefficiency; ZESCAPE: escapism; Z111: I feel a lack of companionship from others; Z112: I feel neglected by others; Z113: I feel isolated from others; Zpdd1: psychological distance from father; Zpdd2: psychological distance from mother.

图 3 中心性估计

Figure 3 Centrality estimation

多巴胺分泌)和对父子角色缺位的权力代偿(通过刷短视频获取虚拟控制感)。缺乏陪伴和被冷落链接戒断性,当亲子互动断裂导致孤独感(如“感到无人陪伴”)时,实质是家庭情感功能的失效,为打破这种“情感冻结”,青少年可能沉浸于短视频的高唤醒内容,通过生理兴奋掩盖心理空虚。

本研究存在的局限性:(1)采用横断面研究,难以揭示变量间的动态关联机制,未来可借助纵向建模进行深入探讨;(2)数据来源主要依赖于研究对象主观报告,可能存在偏差,后续研究可引入多模态数据以提升测量信效度;(3)受当前分析工具所限,未能检验网络结构的异质性,未来可采用新版 JASP 等具备相关功能的软件,开展理论驱动的亚组比较,以增强研究结论的广度;(3)样本来源及数量存在局限,需进一步开展大规模、多中心研究,以提高研

究结果的普适性与外推效度。

综上所述,本研究识别出多个关键干预节点,具体包括亲子科技干扰中的“当我和父母一起吃饭时,他们会拿出手机或其他移动设备看消息”,父母心理距离中的“与母亲心理距离”,孤独感中的“我感到缺少他人陪伴”,短视频成瘾风险中的“戒断性”。建议设立“家庭无电子设备时间”,尤其在共餐时;通过亲子共读、户外活动等加强情感交流与陪伴,拉近心理距离;引导孩子合理规划屏幕使用时间,丰富线下社交与兴趣活动,以减少孤独感和短视频依赖。

利益冲突 无

参 考 文 献

[1] Qu DY, Liu BW, Jia LX, et al. The longitudinal relationships be-

- tween short video addiction and depressive symptoms; a cross-lagged panel network analysis [J]. *Comput Hum Behav*, 2024, 152:108059. DOI:10.1016/j.chb.2023.108059.
- [2] 钟丹,周宗奎,祁迪,等. 亲子间科技干扰与青少年智能手机成瘾;自我厌恶和社交敏感性的中介作用 [J]. *中国临床心理学杂志*, 2023, 31(6):1433-1437. DOI:10.16128/j.cnki.1005-3611.2023.06.027.
- Zhong D, Zhou ZQ, Qi D, et al. Parental technofence and adolescent smartphone addiction; the mediating role of self-disgust and social sensitivity [J]. *Chinese Journal of Clinical Psychology* 2023,31(6):1433-1437. DOI:10.16128/j.cnki.1005-3611.2023.06.027.
- [3] MacKay LJ, Komanchuk J, Hayden KA, et al. Impacts of parental technofence on parent-child relationships and child health and developmental outcomes; a scoping review protocol [J]. *Syst Rev*, 2022,11(1):45. DOI:10.1186/s13643-022-01918-3.
- [4] Van Boven L, Kane J, McGraw AP, et al. Feeling close; emotional intensity reduces perceived psychological distance [J]. *J Pers Soc Psychol*, 2010,98(6):872-885. DOI:10.1037/a0019262.
- [5] Majorano M, Brondino M, Morelli M, et al. Quality of relationship with parents and emotional autonomy as predictors of self concept and loneliness in adolescents with learning disabilities; the moderating role of the relationship with teachers [J]. *J Child Fam Stud*, 2017,26(3):690-700. DOI:10.1007/s10826-016-0591-6.
- [6] 王增辉. 基于机器学习的护理大学生进食障碍倾向的预测模型构建 [D]. 济南:山东大学, 2024.
- Wang ZH. Construction of prediction model of eating disorder tendencies of nursing college students based on machine learning [D]. Jinan: Shandong University, 2024.
- [7] Zhao Z, Kou YL. Effects of loneliness on short video addiction among college students; the chain mediating role of social support and physical activity [J]. *Front Public Health*, 2024, 12:1484117. DOI:10.3389/fpubh.2024.1484117.
- [8] Huth KBS, de Ron J, Goudriaan AE, et al. Bayesian analysis of cross-sectional networks; a tutorial in R and JASP [J]. *Adv Meth Pract Psychol Sci*, 2023,6(4):25152459231193334. DOI:10.1177/25152459231193334.
- [9] 吕行,安献丽,谢朝阳,等. 父母学业上行社会比较感知与青少年短视频成瘾的关系 [J]. *中国临床心理学杂志*, 2025, 33(5):1042-1048. DOI:10.16128/j.cnki.1005-3611.2025.05.025.
- Lyu H, An XL, Xie ZY, et al. The relationship between parental academic upward social comparison perception and adolescents' short video addiction [J]. *Chinese Journal of Clinical Psychology*, 2025,33(5):1042-1048. DOI:10.16128/j.cnki.1005-3611.2025.05.025.
- [10] 张璠. 亲子沟通质量对寄宿制初中生短视频问题性使用的影响;父母心理距离与疏离感的链式中介作用 [D]. 扬州:扬州大学, 2024.
- Zhang B. The quality of parent-adolescent communication on the impact of short video problematic use; the chain mediating effects of parental psychological distance and alienation [D]. Yangzhou: Yangzhou University, 2024.
- [11] Robinaugh DJ, Millner AJ, McNally RJ. Identifying highly influential nodes in the complicated grief network [J]. *J Abnorm Psychol*, 2016,125(6):747-757. DOI:10.1037/abn0000181.
- [12] 郝阳,吕行,安献丽,等. 应激性生活事件与青少年非自杀性自伤;有调节的中介效应 [J]. *中华疾病控制杂志*, 2022, 26(6):668-672,690. DOI:10.16462/j.cnki.zhjbkz.2022.06.009.
- Hao Y, Lyu H, An XL, et al. The moderated mediating effect of stressful life events on non-suicidal self-injury in Chinese adolescents [J]. *Chin J Dis Control Prev*, 2022,26(6):668-672,690. DOI:10.16462/j.cnki.zhjbkz.2022.06.009.
- [13] 郝阳,安献丽,赵福君,等. 消极外貌评论感知与大学生自杀状态的关系 [J]. *中国临床心理学杂志*, 2025,33(2):241-247,253. DOI:10.16128/j.cnki.1005-3611.2025.02.003.
- Hao Y, An XL, Zhao FJ, et al. The relationship between appearance-related negative comments perception and suicide status of college students [J]. *Chinese Journal of Clinical Psychology*, 2025,33(2):241-247,253. DOI:10.16128/j.cnki.1005-3611.2025.02.003.
- [14] Chen MT, Chan KL. Parental absence, child victimization, and psychological well-being in rural China [J]. *Child Abuse Negl*, 2016,59:45-54. DOI:10.1016/j.chiabu.2016.07.009.
- [15] Dykas MJ, Siskind DG. Turning from parents: psychological distancing and attachment-related changes in regret for immediate contact in emerging adulthood [J]. *Emerg Adulthood*, 2020,8(3):195-208. DOI:10.1177/2167696818799833.
- [16] Kardefelt-Winther D. A conceptual and methodological critique of Internet addiction research; towards a model of compensatory Internet use [J]. *Comput Hum Behav*, 2014,31:351-354. DOI:10.1016/j.chb.2013.10.059.
- [17] Lu JX, Zhang QH, Zhong N, et al. Addiction symptom network of young Internet users; network analysis [J]. *J Med Internet Res*, 2022,24(11):e38984. DOI:10.2196/38984.
- [18] Calatrava M, Martins MV, Schweer-Collins M, et al. Differentiation of self; a scoping review of bowen family systems theory's core construct [J]. *Clin Psychol Rev*, 2022,91:102101. DOI:10.1016/j.cpr.2021.102101.
- [19] Mu HL, Jiang QJ, Xu J, et al. Drivers and consequences of short-form video (SFV) addiction amongst adolescents in China; stress-coping theory perspective [J]. *Int J Environ Res Public Health*, 2022,19(21):14173. DOI:10.3390/ijerph192114173.

(收稿日期:2025-04-14)

(修回日期:2025-08-29)

本文编辑:吴靖娱(中文)

李宝珠(英文)